

разделена на три участка. При  $r_{ag} < 0,1 \text{ мк}$  существующие в настоящее время импакторы неприменимы. В диапазоне  $0,1 \text{ мк} \leq r_{ag} \leq 1,5 \text{ мк}$  величина  $K_a^{\text{общ}} (r_{ag}) \approx \text{const}$  на 20—30% и для  $K = 1$  неточность расчета  $K_a^{\text{общ}}$  при использовании  $r_{ag}^0$  не превосходит 20—30%. Если  $\varphi = 12$ , то ошибка возрастает и для  $r_{ag} > 0,5 \text{ мк}$  достигает нескольких сот процентов. При  $r_{ag} > 1,5 \text{ мк}$   $K_a^{\text{общ}}$  изменяется от 20—30% до 0. Здесь обсуждаемые погрешности особенно значительны.

В рассмотренном диапазоне измерений поправки  $P$  и  $K$  игнорирование ошибок определения дисперсности активной пыли влечет за собой при оценке радиационной опасности вдыхания грубодисперсных аэрозолей согласно модели Морроу завышение накопления  $\alpha$ -активных веществ в легких в 2—10 раз.

Поступило в Редакцию 24/VII 1970 г.  
В окончательной редакции 27/XI 1970 г.

## ЛИТЕРАТУРА

1. Р. Моггов. Health Phys., 12, 173 (1966).
2. К. Сурный и др. Аэрозоли. М., Атомиздат, 1964, стр. 130.
3. В. И. Бадин. «Гигиена и санитария», № 10, 52 (1969).
4. Н. А. Фукс. Успехи механики аэрозолей. М., Изд-во АН СССР, 1961, стр. 54.
5. Г. М. Пархоменко и др. В кн. «Всесоюзная научно-техническая конференция «XX лет производства и применения изотопов и источников ядерных излучений в народном хозяйстве СССР». М., Атомиздат, 1968, стр. 73.
6. В. И. Бадин. В сб. «Новости науки и техники». Вып. 4. Аэрозоли. М., Изд. ЦНИИАтоминформ, 1969, стр. 4.
7. В. И. Бадин. Р. Я. Ситько. В кн. «Дозиметрические и радиометрические методики». М., Атомиздат, 1966, стр. 166.

## Структура магнитного поля трехзаходного стелларатора-торсатрона «Сатурн-1»

В. С. ВОЙЦЕНЯ, А. В. ГЕОРГИЕВСКИЙ, В. Е. ЗИСЕР, Д. П. ПОГОЖЕВ, С. И. СОЛОДОВЧЕНКО,  
В. А. СУПРУНЕНКО, В. Т. ТОЛОК

УДК 621.039.623

Трехзаходный стелларатор-торсатрон «Сатурн-1» предназначен для исследования свойств магнитного поля, созданного при помощи внешних по отношению к рабочему объему обмоток различного типа, и для экспериментальной проверки влияния этих свойств на удержание плазмы.

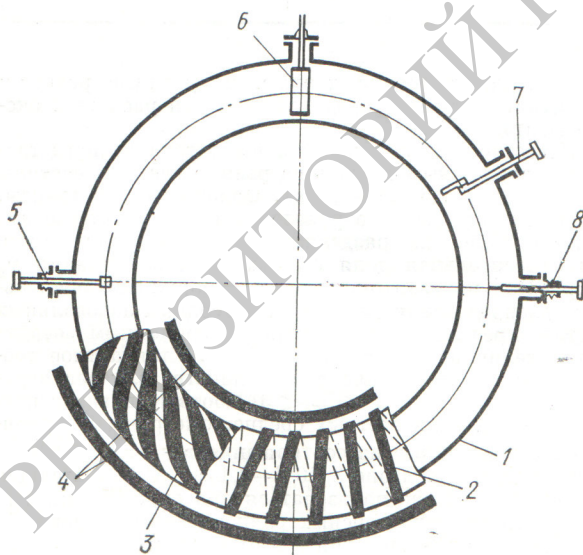


Рис. 1. Схема установки «Сатурн-1»:

1 — вакуумная камера; 2 — обмотка продольного магнитного поля; 3 — винтовая обмотка; 4 — обмотка поперечного магнитного поля; 5 — электронная пушка; 6 — кольцевой зонд; 7 — врачающийся зонд; 8 — локальный зонд.

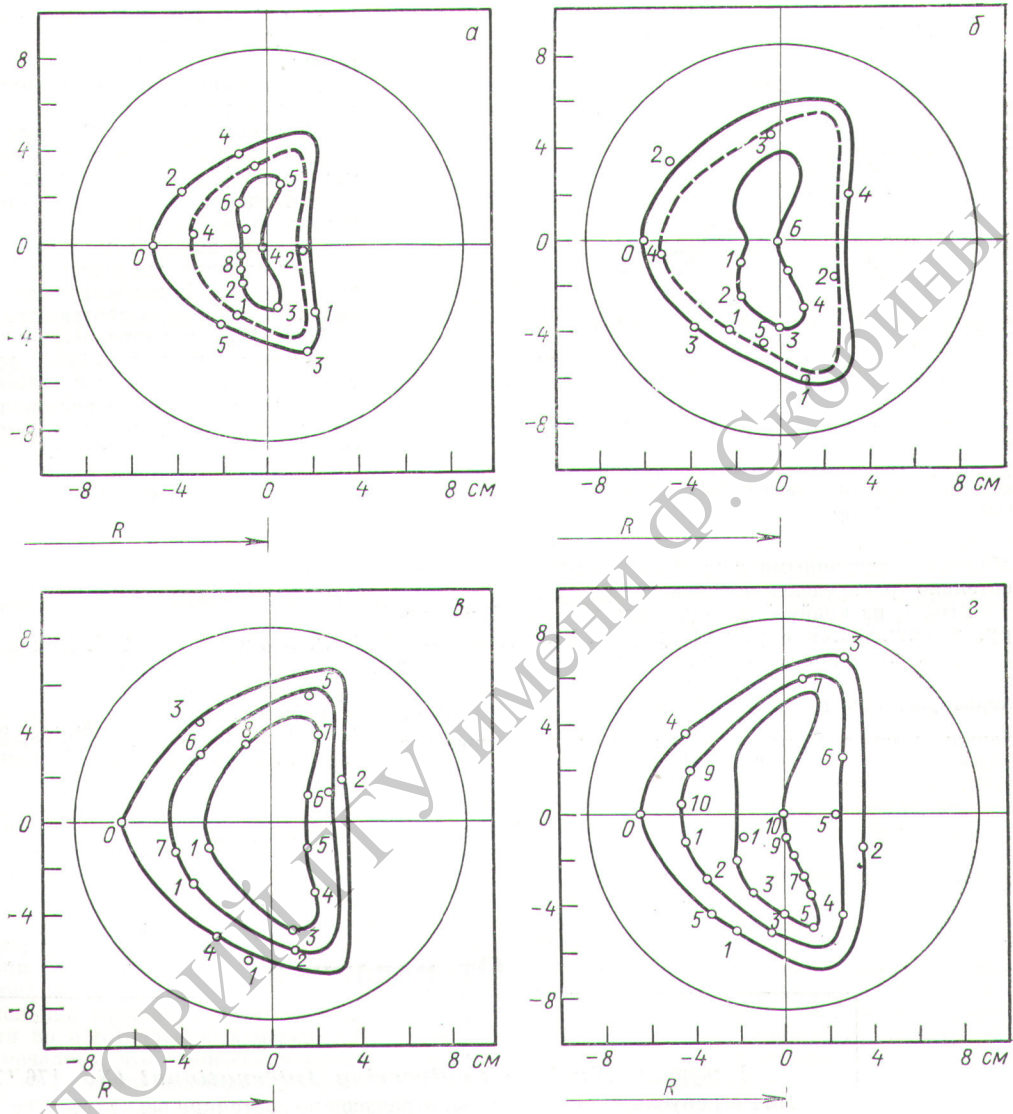
Основные параметры установки (рис. 1): напряженность продольного магнитного поля в квазистационарном режиме  $H_0 \approx 6 \text{ кэ}$ ; в импульсном режиме  $H_0 \geq 10 \text{ кэ}$ ; большой радиус тороидальной винтовой обмотки  $R = 35,6 \text{ см}$ ; малый радиус  $a = 10 \text{ см}$ ; число периодов поля  $m = 8$ .

Предусмотрено два режима работы установки: стеллараторный и торсатронный, впервые предложенный В. Ф. Алексиным и в дальнейшем рассмотренный другими авторами [1]. Система винтового магнитного поля выполнена в виде двух независимых обмоток, объединяющих полюсы с одинаковыми направлениями токов. В торсатронном режиме включается одна обмотка. Продольное магнитное поле  $H_\Phi$  создается специальной обмоткой (см. рис. 1). В зависимости от направления оно либо суммируется с продольным полем  $H_\Phi$ , создаваемым в торсатронном режиме винтовой обмоткой, либо вычитается из него. Соотношение этих полей

характеризуется коэффициентом  $K_\Phi = \frac{H_\Phi}{H_0}$ , где  $H_0 = H_\Phi + H_\Phi$ . Имеются также обмотки, с помощью которых создается поперечное к плоскости тора магнитное поле: компенсирующее  $H_{\text{ком}}$  — для торсатронного режима [1] и корректирующее  $H_{\text{кор}}$  — для создания «магнитной ямы» [2]. Максимальная неоднородность поперечного поля в рабочем объеме 5%.

Данная работа посвящена экспериментальному исследованию магнитных поверхностей стелларатора в торсатронном режиме. Магнитные измерения проводились при  $H_0 = 0,5 \div 1 \text{ кэ}$  в широком диапазоне изменения  $k_\Phi$ .

Для исследования магнитных поверхностей (см. рис. 1) были использованы низкозенергетические ( $20 \div 50 \text{ эв}$ ) электронные пучки [3], создаваемые электронной пушкой, которая могла перемещаться по радиусу в горизонтальном и вертикальном направлениях. Область существования замкнутых магнитных поверх-

Рис. 2. Форма магнитных поверхностей для различных значений  $k_\Phi$ .

Пифры на поверхности — номера оборотов электронного пучка;  $R = 35,6$  см;  $a$  —  $k_\Phi = 1,0$ ,  $H_0 \sim 2$  кэ;  $b$  —  $k_\Phi = 0,66$ ,  $H_0 \sim 3$  кэ;  $c$  —  $k_\Phi = 0,5$ ,  $H_0 \sim 4$  кэ;  $d$  —  $k_\Phi = 0,4$ ,  $H_0 \sim 5$  кэ.

ностей определялась по сигналу с кольцевого зонда при перемещении пушки, а их форма и угол вращательного преобразования  $i_0$  — с помощью локального и вращающегося зондов при фиксированном положении пушки.

Параметры измеренных магнитных поверхностей сравнивались с расчетными. Расчеты были выполнены на вычислительной машине БЭСМ-6 с учетом тороидальности установки и реального распределения по-перечного магнитного поля, при этом полюсы винтовых обмоток задавались в виде бесконечно тонкого проводника с током.

Экспериментальные исследования показали, что в стеллараторе-торсатроне существуют замкнутые (с точностью до нескольких десятков оборотов) магнитные поверхности. Типичные формы измеренных магнитных поверхностей для различных значений  $k_\Phi$  при отсутствии корректирующего поля приведены на рис. 2. Для сравнения пунктиром нанесены расчетные магнитные поверхности. Средний приведенный радиус  $r_0$  экспериментально полученных крайних неразрушенных поверхностей несколько выше, а угол вращательного преобразования  $i_0$  на этих поверхностях ниже соответствующих расчетных величин. Частично это можно

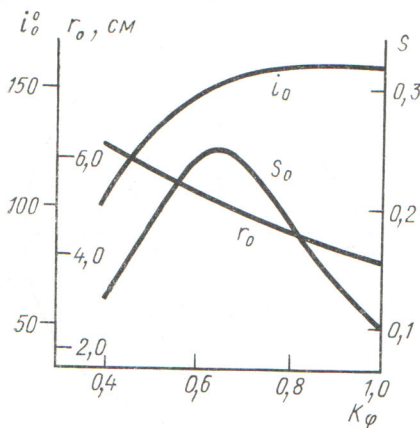


Рис. 3. Зависимость параметров магнитных поверхностей установки «Сатурн-1» ( $r_0$ ,  $i_0$ ,  $S_0$ ) от  $k_{\varphi}$ .

объяснить сделанными в расчетах допущениями относительно распределения тока в полюсе.

Угол  $i_0$  на крайней поверхности, вписанной в камеру, увеличивается с ростом  $k_{\varphi}$  (рис. 3). Однако при  $k_{\varphi} \geq 0,6$  величина  $i_0$  остается практически неизменной, так как при этом в камеру вписывается крайняя неразрушенная магнитная поверхность. С ростом  $k_{\varphi}$  величина шири  $S_0 = \frac{di_0}{dr_0} \cdot \frac{r_0^2}{2\pi R}$  вначале увеличивается

и при  $k_{\varphi} = 0,6$  достигает максимального значения  $S_0 \approx 0,25$ , а затем вследствие уменьшения  $r_0$  начинает падать.

Экспериментально установлено, что в предельном режиме, когда продольное поле создается только винтовой обмоткой ( $k_{\varphi} = 1$ ), существуют замкнутые магнитные поверхности с достаточно высокими параметрами:  $i_0 \approx 0,9\pi$ ,  $S_0 \approx 0,1$  (см. рис. 2 и 3).

Исследовалось влияние корректирующего магнитного поля на смещение центра магнитных поверхностей наружу или внутрь тора в зависимости от направления  $H_{\text{кор}}$ . Величина смещения центра, хорошо совпадающая с расчетной, позволяет оценить глубину магнитной ямы или «антимы» соответственно. Так, при  $H_{\text{кор}} = -7,5\% H_{\text{ком}}$  и направленном встречно  $H_{\text{ком}}$  создавалась магнитная яма  $\sim 10\%$ , величина которой практически не зависела от  $k_{\varphi}$ . Дальнейшие эксперименты позволят определить зависимость величины магнитной ямы и характера изменения  $i_0$  и  $r_0$  от величины и формы корректирующего поля.

Поступило в Редакцию 10/VIII 1970 г.

## ЛИТЕРАТУРА

1. С. Гонгдон et al. Доклад СН-24/F-2 на III конференции по исследованиям в области физики плазмы и управляемых термоядерных реакций (Новосибирск, 1968).
2. J. Taylor. Phys. Fluids, 8, 1203 (1965).
3. М. С. Бережецкий и др. ЖТФ, 35, 2167 (1965).

## От редакции

В журнале *Nuclear Engineering International* (No. 176/177, 1971 г.) опубликованы таблицы, отражающие состояние реакторостроения во всех странах мира на начало 1971 г.

Учитывая полезность этих сведений, редакция воспроизвела их в виде отдельного оттиска и будет высылать наложенным платежом по запросам.

Цена одного экземпляра объемом 28 стр.—50 коп.

Запросы присыпать в редакцию по адресу:

101876, Москва, Центр, ул. Кирова, 18.